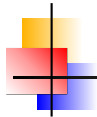


ANIMACJA KOMPUTEROWA

WYKŁAD 3

Wojciech Kowalewski

Jesień-Zima 2012



Część I

Kinematyka punktu materialnego



DWIE ZNANE PARAMETRYZACJE

- ▶ **Notacja:** Wektory piszemy czcionką wytłuszczoną (bold), np. **\mathbf{r}** oznacza wektor położenia
- ▶ Parametryzacja względem czasu

$$\mathbf{r} = \mathbf{r}(t), \quad \mathbf{v} = \mathbf{v}(t) = \mathbf{r}'(t), \quad \mathbf{a} = \mathbf{a}(t) = \mathbf{r}''(t)$$

- ▶ Parametryzacja względem toru

$$\mathbf{r} = \mathbf{r}(l), \quad \mathbf{v} = \mathbf{v}(l) = \mathbf{r}'(l), \quad \mathbf{a} = \mathbf{a}(l) = \mathbf{r}''(l)$$

- ▶ Parametryzacja toru względem czasu (tutaj nie ma wektora!)

$$l = l(t)$$

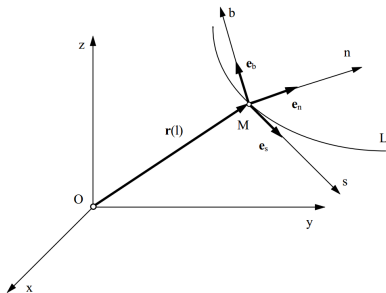


DWIE ZNANE PARAMETRYZACJE

- ▶ Rozpatrzmy parametryzację położenia względem toru

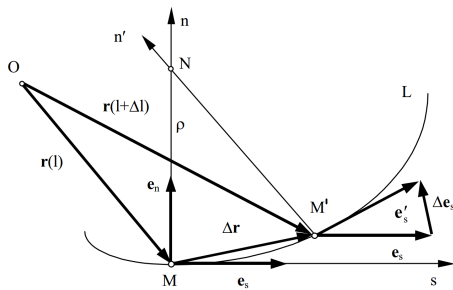
$$\mathbf{r} = \mathbf{r}(l)$$

- ▶ Z punktem M należącym do krzywej L wiążemy prostokątny układ współrzędnych składający się z osi \mathbf{e}_s , \mathbf{e}_n , \mathbf{e}_b , oznaczających odpowiednio **styczną**, **normalną** oraz **binormalną** do krzywej (tzw. **układ normalny**)





DWIE ZNANE PARAMETRYZACJE

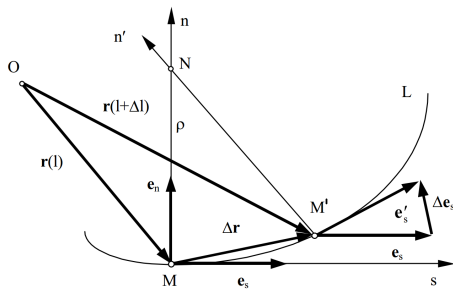


- Przedstawiając krzywą L w płaszczyźnie $\mathbf{e}_s\mathbf{e}_n$ widać, że

$$\lim_{\Delta l \rightarrow 0} \left| \frac{\Delta \mathbf{r}}{\Delta l} \right| = \left| \frac{d\mathbf{r}}{dl} \right| = 1 \Rightarrow \mathbf{e}_s = \frac{d\mathbf{r}}{dl}$$



DWIE ZNANE PARAMETRYZACJE

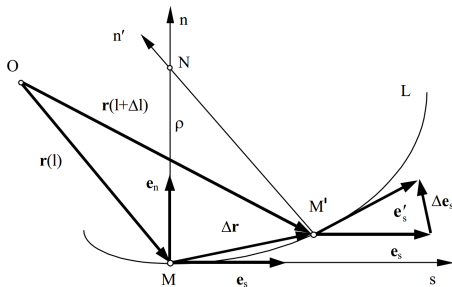


► Ponadto

$$\lim_{\Delta l \rightarrow 0} \frac{\Delta \mathbf{e}_s}{\Delta l} = \frac{d\mathbf{e}_s}{dl} = \frac{d^2 \mathbf{r}}{dl^2}$$



DWIE ZNANE PARAMETRYZACJE

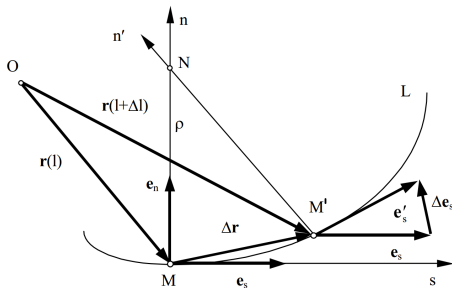


- Różniczkując względem czasu oczywistą zależność $\mathbf{e}_s \cdot \mathbf{e}_s = 1$ otrzymujemy

$$0 = \mathbf{e}_s \cdot \frac{d\mathbf{e}_s}{dt} = \mathbf{e}_s \cdot \frac{d\mathbf{e}_s}{dl} \frac{dl}{dt} = \mathbf{e}_s \cdot \frac{d^2\mathbf{r}}{dl^2} \frac{dl}{dt} \Rightarrow \mathbf{e}_s \perp \frac{d^2\mathbf{r}}{dl^2}$$



DWIE ZNANE PARAMETRYZACJE

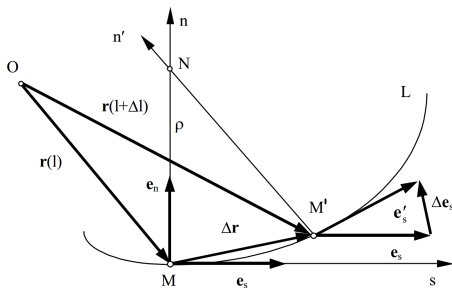


- Dla małych przyrostów $\Delta \mathbf{r}$ trójkąt $\mathbf{e}_s \Delta \mathbf{e}_s \mathbf{e}'_s$ i trójkąt $N M M'$ są podobne. Możemy zatem napisać:

$$\left| \frac{\mathbf{e}_s}{MN} \right| = \left| \frac{\Delta \mathbf{e}_s}{\Delta r} \right| = \left| \frac{\Delta \mathbf{e}_s}{\Delta l} \right|$$



DWIE ZNANE PARAMETRYZACJE



- Przechodząc do granicy przy $\Delta l \rightarrow 0$ otrzymujemy

$$\left| \frac{d^2 \mathbf{r}}{dl^2} \right| = \left| \frac{\mathbf{e}_s}{MN} \right| = \frac{1}{MN} = \frac{1}{\rho} \Rightarrow \mathbf{e}_n = \rho \frac{d^2 \mathbf{r}}{dl^2}$$

- ρ jest **promieniem krzywizny** krzywej L w punkcie M



DWIE ZNANE PARAMETRYZACJE

- ▶ Z definicji prędkości otrzymujemy potwierdzenie, że prędkość jest styczna do toru:

$$\mathbf{v} = \frac{d\mathbf{r}}{dt} = \frac{d\mathbf{r}}{dl} \frac{dl}{dt} = v\mathbf{e}_s$$

gdzie $v = |\mathbf{v}|$

- ▶ Różniczkując prędkość otrzymujemy przyspieszenie:

$$\mathbf{a} = \frac{d\mathbf{v}}{dt} = \frac{dv}{dt}\mathbf{e}_s + v\frac{d\mathbf{e}_s}{dt} = \frac{dv}{dt}\mathbf{e}_s + v\frac{d\mathbf{e}_s}{dl}\frac{dl}{dt} =$$

$$\frac{dv}{dt}\mathbf{e}_s + v^2\frac{d\mathbf{e}_s}{dl} = \frac{dv}{dt}\mathbf{e}_s + \frac{v^2}{\rho}\mathbf{e}_n =: \mathbf{a}_s + \mathbf{a}_n$$

gdzie \mathbf{a}_s , \mathbf{a}_n oznaczają odpowiednio **przyspieszenie styczne** oraz **przyspieszenie normalne**, przy czym

$$a_s = |\mathbf{a}_s| = \frac{dv}{dt}, \quad a_n = |\mathbf{a}_n| = \frac{v^2}{\rho}, \quad a = |\mathbf{a}| = \sqrt{a_s^2 + a_n^2}$$



Część II

DYNAMIKA PUNKTU MATERIALNEGO



KLASYCZNA DRUGA ZASADA DYNAMIKI

- ▶ Siła oznacza wpływ otoczenia danego punktu na ten punkt - nadaje mu przyspieszenie

KLASYCZNA DRUGA ZASADA DYNAMIKI

Dla obiektu o stałej (w danej chwili) masie, przyspieszenie jest proporcjonalne do działającej na niego siły oraz odwrotnie proporcjonalne do jego masy

$$\mathbf{a} = \frac{\mathbf{F}}{m}$$

- ▶ Siła nie jest odpowiedzialna za ruch, lecz za zmianę ruchu
- ▶ Przyspieszenie jest zawsze równoległe do wektora siły



OGÓLNA DRUGA ZASADA DYNAMIKI

*Dla obiektu z masą zmieniającą się w czasie, siła powoduje zmianę **pędu** tego obiektu*

$$\mathbf{F} = \frac{d\mathbf{p}}{dt} := \frac{d(m\mathbf{v})}{dt} = m\mathbf{a} + \frac{dm}{dt}\mathbf{v}$$

- ▶ W ogólności siła przyłożona w danym punkcie może zależeć od wielu parametrów, np. **położenia**, **prędkości**, **czasu** itp.

$$\mathbf{F} = \mathbf{F}(t, \mathbf{r}, \mathbf{r}', \dots)$$

- ▶ Zapis różniczkowy drugiej zasady dynamiki

$$\frac{d^2\mathbf{r}(t)}{dt^2} = \frac{\mathbf{F}(t, \mathbf{r}, \mathbf{r}', \dots)}{m} \quad (1)$$



DRUGA ZASADA DYNAMIKI

- ▶ W ogólności równanie różniczkowe (1) jest trudne do rozwiązania
- ▶ **Przykład prosty:** Załóżmy, że na punkt materialny działa **stała siła**, tzn.

$$\frac{d^2 \mathbf{r}(t)}{dt^2} = \frac{\mathbf{F}}{m} = \mathbf{a}$$

- ▶ Całkując to równanie na przedziale czasu $[t_0, t]$ otrzymujemy

$$\mathbf{v}(t) - \mathbf{v}(t_0) = \int_{t_0}^t \mathbf{a} dt = \mathbf{a}(t - t_0) \Rightarrow \mathbf{v}(t) = \mathbf{v}(t_0) + \mathbf{a}(t - t_0)$$

- ▶ Ponowne całkowanie daje znany wzór na drogę w ruchu **jednostajnie przyspieszonym**

$$\mathbf{r}(t) - \mathbf{r}(t_0) = \int_{t_0}^t \mathbf{v}(t) dt = \mathbf{v}(t_0)(t - t_0) + \frac{1}{2}\mathbf{a}(t - t_0)^2$$



DRUGA ZASADA DYNAMIKI

- ▶ Równanie różniczkowe (1) jest równaniem **zwyczajnym drugiego rzędu**
- ▶ Jego rozwiązanie w ogólności wymaga zastosowania **metod numerycznych** dla równań drugiego rzędu
- ▶ Można je jednak zapisać równoważnie w postaci **dwóch równań pierwszego rzędu**

$$\frac{d\mathbf{r}(t)}{dt} = \mathbf{v}(t)$$

$$\frac{d\mathbf{v}(t)}{dt} = \frac{\mathbf{F}(t, \mathbf{r}, \dots)}{m}$$

- ▶ Pochodna prędkości w drugim równaniu używa prędkości obliczonej z pierwszego równania



Część III

METODY NUMERYCZNE DLA RÓWNAŃ RÓŻNICZKOWYCH ZWYCZAJNYCH PIERWSZEGO RZĘDU



SFORMUŁOWANIE ZAGADNIENIA

- ▶ Niech $x : \mathbb{R} \rightarrow \mathbb{R}$, $f : \mathbb{R}^2 \rightarrow \mathbb{R}$. Rozpatrzmy równanie różniczkowe pierwszego rzędu z warunkiem początkowym:

$$x'(t) = f(t, x(t)), \quad t \geq t_0, \quad x(t_0) = x_0 \quad (2)$$

- ▶ Rozwinięcie w szereg Taylora

▶ **Założenia:**

(Z1) $x^{(k)}(t)$ ciągła na $[t_0, t_1]$ dla $k = 0, 1, \dots, n$

(Z2) $x^{(n)}(t)$ różniczkowalna na (t_0, t_1)

- ▶ **Teza:** Istnieje $\bar{t} \in [t_0, t_1]$ takie, że

$$x(t_1) = \sum_{k=0}^n \frac{x^{(k)}(t_0)}{k!} (t_1 - t_0)^k + \frac{x^{(n+1)}(\bar{t})}{(n+1)!} (t_1 - t_0)^{n+1}$$

- ▶ W praktyce nie szukamy \bar{t} , tylko szacujemy takim $M > 0$, że

$$|x^{(n+1)}(t)| \leq M \quad \text{dla } t \in [t_0, t_1]$$



METODA EULERA

- ▶ Rozpatrzmy ciąg chwil $(t_i)_{i=0}^N$ równoodległych, tzn. $\forall i \ h = t_{i+1} - t_i$
- ▶ Rozwijamy funkcję $x(t)$ z zagadnienia (2) w szereg Taylora na przedziale $[t_i, t_{i+1}]$, dla $n = 1$

$$x(t_{i+1}) = x(t_i) + x'(t_i)h + x''(\bar{t})\frac{h^2}{2} = x(t_i) + f(t_i, x(t_i))h + x''(\bar{t})\frac{h^2}{2}$$

- ▶ Niech $x_i = x(t_i)$ - **wartość dokładna**
- ▶ Aproxymujemy wartość x_i **wartością przybliżoną** y_i spełniającą zależność

$$y_{i+1} = y_i + h f(t_i, y_i), \quad i \geq 0, \quad y_0 = x_0 \quad (3)$$

- ▶ Równanie (3) definiuje **metodę Eulera** dla zagadnienia (2)



- ▶ Załóżmy, że funkcja f spełnia warunek

$$|f(t, x) - f(t, \tilde{x})| \leq L|x - \tilde{x}|$$

dla każdych (t, x) oraz (t, \tilde{x}) należących do pewnego prostokąta zawierającego (t_0, x_0)

- ▶ Załóżmy dodatkowo, że istnieje stała $M > 0$ taka, że $|x''(t)| \leq M$ dla każdego $t \geq t_0$.
- ▶ Stąd łatwo otrzymujemy

$$|x_{i+1} - y_{i+1}| \leq (1 + Lh)|x_i - y_i| + Mh^2/2$$

- ▶ Oznaczając $e_i = |x_i - y_i|$ oraz $c = Mh^2/2$ powyższe zapisujemy jako

$$e_{i+1} \leq (1 + Lh)e_i + c$$



$$e_{i+1} \leqslant (1 + Lh)e_i + c$$

► Zatem

$$e_1 \leqslant (1 + Lh)e_0 + c = c$$

$$e_2 \leqslant (1 + Lh)e_1 + c \leqslant (1 + Lh)c + c = ((1 + Lh) + 1)c$$

$$e_3 \leqslant (1 + Lh)e_2 + c = c \leqslant \dots \leqslant ((1 + Lh)^2 + (1 + Lh) + 1)c$$

► Ogólnie

$$\begin{aligned} e_i &\leqslant \sum_{j=0}^{i-1} (1 + Lh)^j = \frac{Mh^2}{2} \frac{(1 + Lh)^i - 1}{Lh} \leqslant \frac{Mh^2}{2} \frac{e^{iLh} - 1}{Lh} = \\ &= \frac{M(e^{L(t_i - t_0)} - 1)}{2L} k \leqslant Kh \end{aligned}$$



ANALIZA METODY EULERA

- ▶ Zatem istnieje $K > 0$ niezależne od h takie, że

$$e_i \leq Kh$$

- ▶ Im mniejsze h tym dokładniejszy wynik, ale !! kosztem zwiększenia ilości kroków na ustalonym przedziale $[t_0, T]$
- ▶ Przeprowadzona analiza opiera się na błędzie obciążenia sformułowania matematycznego - pominięcie większości składników rozwinięcia Taylora
- ▶ Przeprowadźmy teraz analizę numeryczną, wynikającą z maszynowej reprezentacji liczb
- ▶ Oznaczmy przez δ_i błąd zaokrąglenia obliczenia wartości y_i .
- ▶ Wtedy, oznaczając $z_i = y_i - \delta_i$, otrzymujemy

$$z_{i+1} = z_i + hf(t_i, z_i) + \delta_{i+1}$$



- Podobnie jak poprzednio otrzymujemy, że

$$|x_{i+1} - z_{i+1}| \leq (1 + Lh)|x_i - z_i| + \frac{Mh^2}{2} + \delta$$

gdzie $\delta = \max_i |\delta_i|$

- Oznaczając $\varepsilon_i = |x_i - z_i|$ dostajemy

$$\varepsilon_1 \leq (1 + Lh)\varepsilon_0 + (Mh^2/2 + \delta)$$

- Ogólnie otrzymamy

$$\begin{aligned} \varepsilon_i &\leq (1 + Lh)^i \varepsilon_0 + (Mh^2/2 + \delta) \sum_{j=1}^{i-1} (1 + Lh)^j \leq \dots \leq \\ &\leq K_0 + K_1 h + K_2 \frac{1}{h} \end{aligned}$$

dla $i \geq 1$ i pewnych stałych K_0 , K_1 , K_2 niezależnych od h .



▶ Zatem

$$\varepsilon_i \leq K_0 + K_1 h + K_2 \frac{1}{h}$$

- ▶ Widać, że zmniejszanie wielkości kroku h blisko zera powoduje, że ε_i zbliża się do nieskończoności !!! (czynnik $\frac{1}{h}$).
- ▶ Funkcja $K_1 h + K_2 \frac{1}{h}$ posiada jednak lokalne maksimum, więc można przyjąć taką wartość parametru h .